

چکیده

شناسایی دقیق چشم و پتانسیل‌های لرزه‌ای از مهم‌ترین اقدامات لازم و قدم نخست برای مطالعات لرزه‌خیزی هر منطقه به شمار می‌رود. گستره مورد مطالعه که در بخش میانی کمان ماگمایی ارومیه دختر واقع است، یکی از مناطقی است که شناسایی و مطالعه دقیق چشم‌های لرزه‌ای آن ضروری به نظر می‌رسید. در این پژوهش با تفسیر تصاویر ماهواره‌ای و بازدیدهای میدانی و بررسی‌های ریخت‌زمین ساختی منطقه، برای نخستین بار سامانه گسلی عزالدین-راهجرد با روند N-۱۵۰ و طول بیش از ۷۰ کیلومتر معرفی می‌شود. این پهنه گسلی، همروند با گسلهای عرضی-برشی دیگر همچون گسلهای بیدهند، قم-زفره و دهشیریافت، سنگ‌های آتش‌فشاری کمان ماگمایی را بریده است. خش لغز گسلی، خمش راست بر روند محور چین‌های اصلی در راستای گسله و تشکیل ساختارهای فرعی مرتب با آن بیانگر حرکت راست بر این گسله است. بررسی زمین‌ریخت‌شناسی و جابه‌جایی راست بر آبراهه‌ها با گسله، بیانگر فعالیت گسله در زمان کواترنری است. اضلاع مرکز سطحی زمین‌لرزه‌ها بر روی این گسله، اهمیت شناسایی و معرفی این پهنه گسلی را در مطالعات لرزه‌خیزی منطقه نشان می‌دهد. لذا احتمال وقوع زمین‌لرزه ویرانگر در اثر فعالیت پهنه گسلی عرضی-برشی عزالدین-راهجرد به عنوان گسلی که فعالیت کواترنری داشته است، دور از انتظار نیست و ممکن است در خطر لرزه‌ای شهرستان تفرش و مناطق هم جوار نقش تعیین‌کننده داشته باشد.

واژگان کلیدی: پهنه گسلی عرضی-برشی، گسله عزالدین-راهجرد، پتانسیل لرزه‌ای، ایران مرکزی، تفرش.

معرفی و بررسی ساختاری پهنه

گسلی عرضی-برشی عزالدین-راهجرد؛ یکی از ساختارهای با توان فعالیت در گستره شهرستان تفرش

زینب دادی

استادیار گروه زمین‌شناسی، دانشکده علوم پایه،
دانشگاه بین‌المللی امام خمینی (ره)، قزوین،
z.davoodi@sci.ikjui.ac.ir

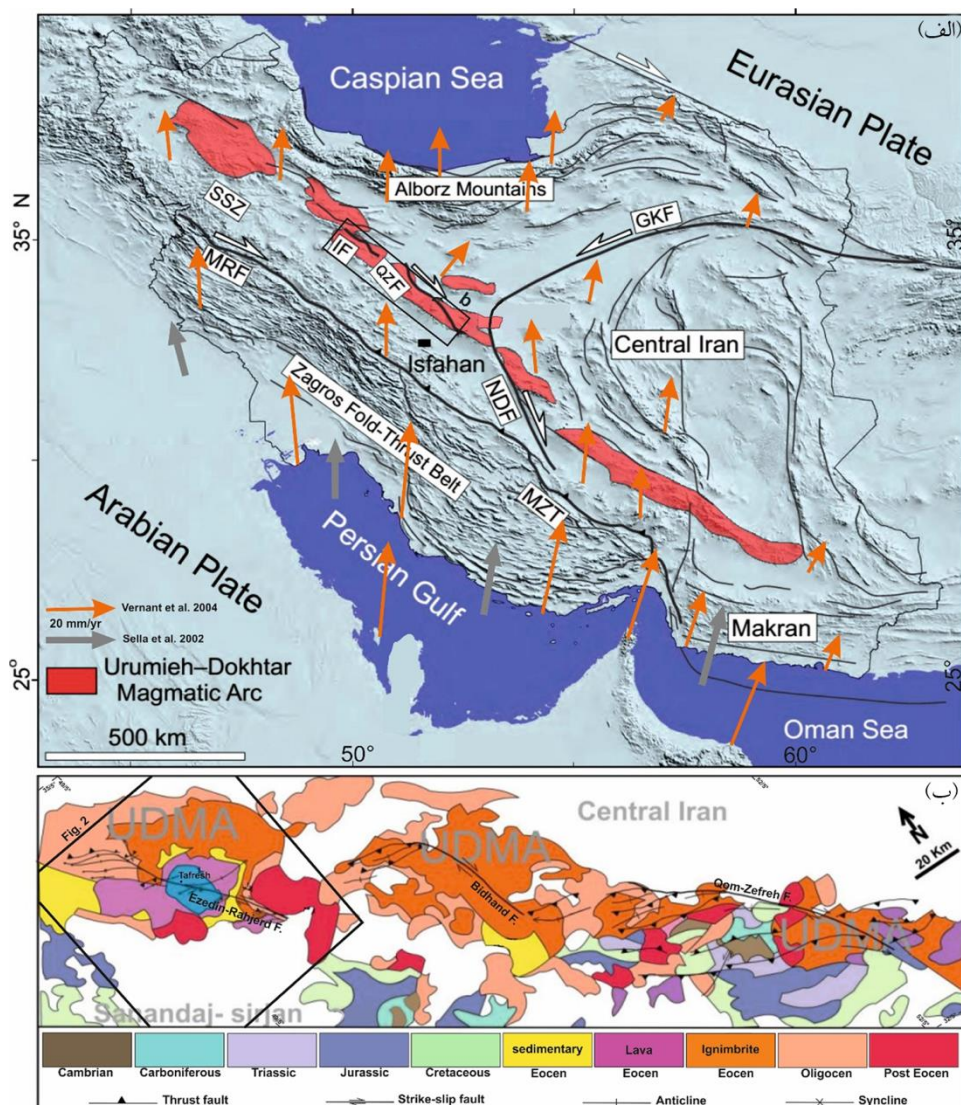
-۱- مقدمه

نتایج آنها در مرحله بعدی استفاده می‌شود دارای ارزش ذاتی است؛ اما در هر حال، وجود خطا در هر مرحله گریزناپذیر است که سبب خواهد شد در مرحله نهایی با یک خطای تجمعی روبرو شویم. بر همین اساس اهمیت شناسایی و بررسی چشم‌های لرزه‌زا به عنوان گام نخست تا رسیدن به هدف نهایی محاسبه پارامترهای طراحی جنبش زمین، بیشتر مشخص می‌شود. از طرف دیگر؛ در حال حاضر در کشور لرزه‌خیز ایران، تنها چشم‌های مطرح لرزه‌زا، گسلهای هستند. لذا مطالعه دقیق و شناسایی دقیق گسلهای شهرهای مختلف و مناطق پیرامون آنها، ارتباط مستقیم با زندگی انسان‌های آن منطقه خواهد داشت و همین موضوع نشان‌دهنده اهمیت بیشتر شناسایی گسلهای پیش

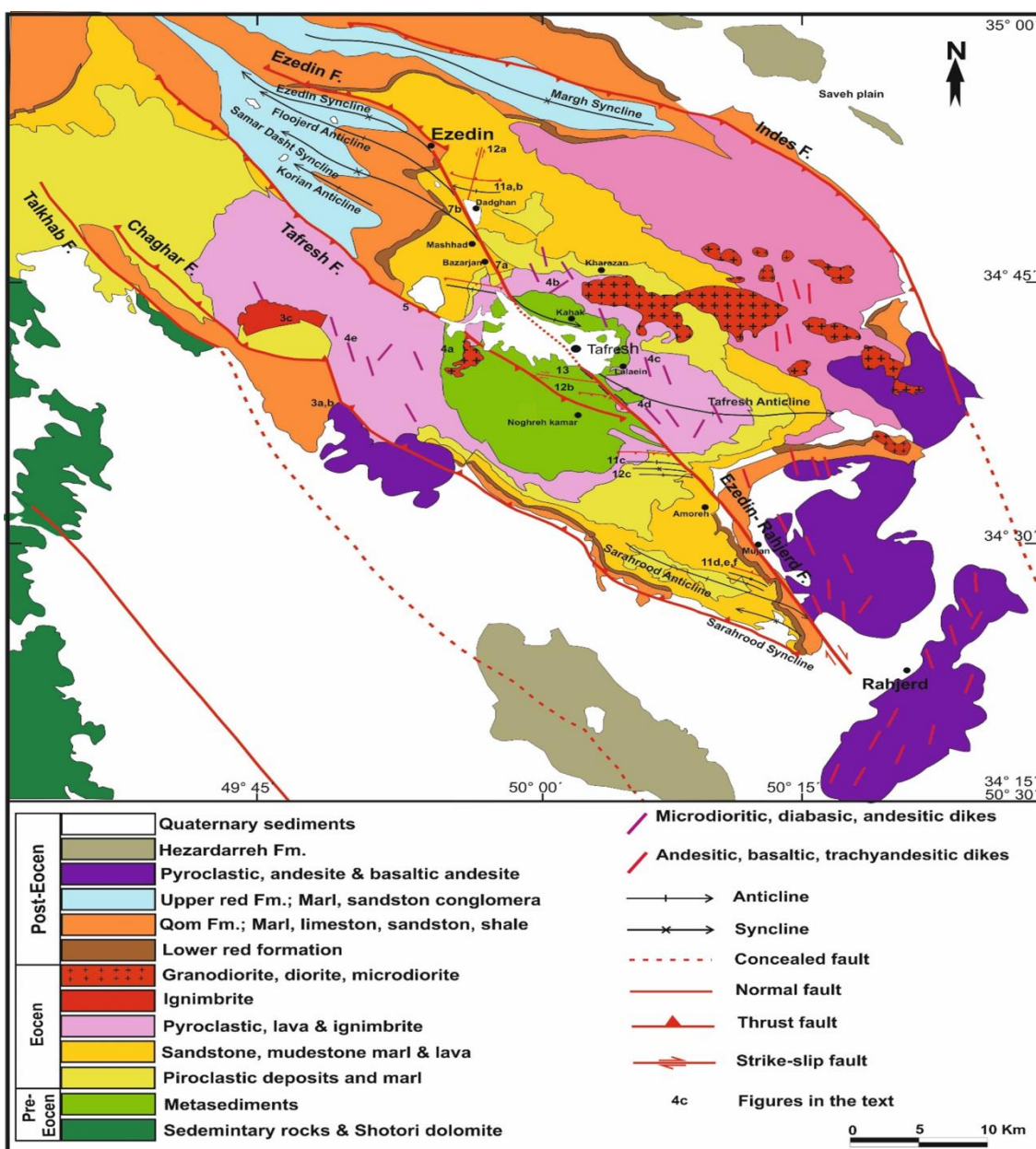
پژوهش‌های ساختاری که منجر به شناسایی گسلهای مهم در مناطق مختلف ایران می‌شود نه تنها در تکمیل بانک اطلاعاتی گسلهای و تحلیل ساختاری هر منطقه اطلاعات ارزشمندی برای درک مدل زمین‌ساختی پهنه‌های مختلف ساختاری ایران فراهم می‌کند [۱-۳]، بلکه در صورت دارا بودن شواهد فعالیت، در بررسی برآورد خطر زمین‌لرزه نیز بسیار مؤثر خواهد بود. بررسی برآورد خطر زمین‌لرزه در هر گستره به ترتیب در چهار مرحله اصلی (۱) شناسایی و بررسی چشم‌های لرزه‌زا، (۲) تعیین زمین‌لرزه کنترل کننده برای چشم‌های لرزه‌زا، (۳) انتخاب رابطه جنبش زمین و (۴) محاسبه پارامترهای طراحی جنبش زمین انجام می‌گیرد [۴]. دقت در انجام هر یک از مراحل که به طور مستقیم

عرض جغرافیایی $15^{\circ} 34' 35''$ واقع است (شکل های ۱ و ۲). در امتداد پیرامون این گسله، شهرستان تفرش و دهه رosta مانند عزالدین، دادقان، بازرجان، مشهد، خرازان، کهک، نقره کمر، موجان و راهجرد قرار دارند (شکل ۲) که با توجه به قرارگیری آنها در امتداد رودخانه اصلی آب کمر (تفرش)، از تراکم جمعیت نسبتاً خوبی برخوردار هستند. پراکنش جمعیت در امتداد پیرامون گسله عزالدین- راهجرد خود گویای اهمیت تحقیق حاضر است.

از وقوع زمین لرزه نسبت به شناسایی آنها بعد از وقوع زمین لرزه خواهد بود. به عنوان مثال در زمین لرزه 2005° داهوئیه زرند کرمان با بزرگی $Mw=6/5$ که بیش از 600 نفر کشته شدند، گسله عامل زمین لرزه که یک گسله قدیمی بود پس از وقوع زمین لرزه شناسایی شد [۵]. نظر به این امر مهم؛ در این مقاله، یکی از گسله های گزارش نشده در شهرستان تفرش و مناطق پیرامون آن به عنوان گسله عزالدین- راهجرد، برای نخستین بار معرفی می شود که در گستره مطالعاتی در طول جغرافیایی $30^{\circ} 49' \text{ تا } 30^{\circ} 50'$ و



شکل (۱): (الف) نقشه ساده زمین ساخت ایران و روند گسله های مهم با توجه به جهت همگرایی ورق عربی نسبت به اوراسیا. پیکان خاکستری جهت همگرایی ورق عربی نسبت به اوراسیا با استفاده از مدل سلا و همکاران [۶] و پیکان نارنجی خطوط سرعت بدست آمده از داده های GPS با فرض ثابت بودن ورق اوراسیا [۷] را نشان می دهد. (ب) نقشه ساده شده واحد های مختلف سنگ چینه ای بخش مرکزی کمان ماگمایی گسله نائین- دهشیر بافت؛ IF: گسله ایندس؛ QZF: گسله قم- زفره. (الف) نقشه ساده شده واحد های مختلف سنگ چینه ای بخش مرکزی کمان ماگمایی ارومه دختر و گسله های عرضی- برشی مهم کمر بند ماگمایی. گستره مورد مطالعه با کادر مربعی تیره نشان داده شده است.



شکل (۲): نقشه‌ی زمین‌شناسی منطقه‌ی مورد مطالعه (با تغییر از [۱۱-۸]). عناصر ساختاری برداشت شده و موقعیت برخی از شکل‌ها بر روی نقشه آمده است.

و سنجنده استر با وضوح 30° متر نیز استفاده شد.

۲- زمین‌شناسی و زمین‌ساخت گستره مورد مطالعه
از نظر زمین‌شناسی و زمین‌ساختی، گستره مورد مطالعه منطقه تفرش در ایالت ایران مرکزی و کمربند کمان ماگمایی ارومیه دختر واقع است. کمان ماگمایی ویژه‌ی فرورانش نشوتنیس (کمان ماگمایی ارومیه دختر) در حاشیه‌ی جنوب غربی خرده قاره‌ی ایران مرکزی به طول ۱۵۰۰ کیلومتر و به موازات زمین

این پژوهش با انجام بازدید میدانی و بررسی‌های سنجش از دور به شناسایی هندسه و تحلیل جنبشی شواهد ساختاری گستره مورد مطالعه اعم از چین‌ها، گسل‌ها و دایک‌های منطقه، با استفاده از نرم‌افزارهای تخصصی RosNet, Dips, Tectonic FP, Envi می‌پردازد و تلاش دارد تا با بهره‌گیری از شواهد ساختاری و ریخت‌شناسی موجود و تحلیل ساختاری آنها به معرفی یک گسله عرضی- برشی مهم در گستره مورد مطالعه پردازد. در این راستا از تصاویر ماهواره‌ای سنجنده لندست ۷

آتش فشانی ارومیه دختر به طور عمده بر روی این گسله های امتدادلغز راست بر مستهلک می شوند [۳۱]. با بررسی تصاویر ماهواره ای و بازدید میدانی بخش مرکزی کمان ما گمایی ارومیه - دختر در منطقه تفرش (شکل ۱) به نظر رسید که سنگ های آذرین این منطقه نیز از این قاعده مستثنا نبوده و تحت تأثیر فعالیت این گسله ها قرار گرفته اند.

۳- چینه تکاری سنگی منطقه مورد مطالعه

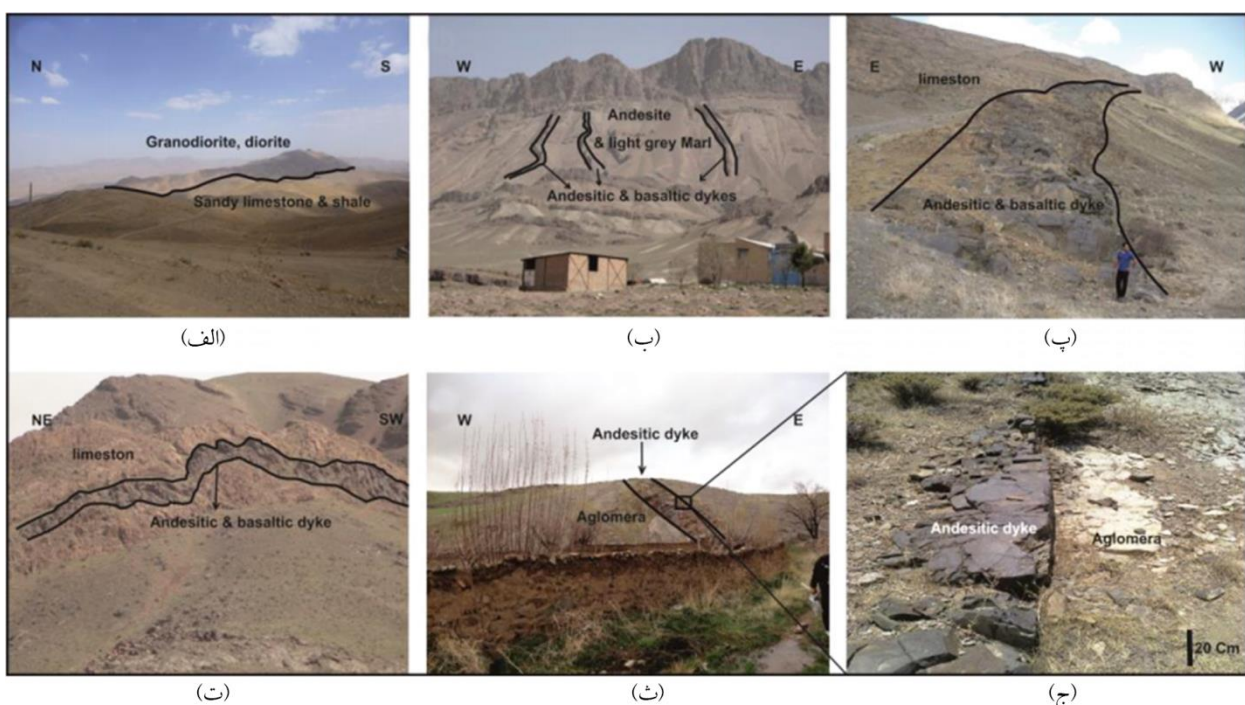
در گستره مورد مطالعه، بیشتر رخنمون ها به سنگ های آتش فشانی و آذرآواری ائوسن تعلق دارد و رخنمون های قدیمی تر که شامل دولومیت های تربیاس و رسوبات ژوراسیک و کرتاسه است، در منطقه نقره کمر مشاهده می شوند [۳۲] (شکل ۲). مجموعه واحدهای سنگی ابتدای سنوزوئیک بر حسب قدمت زمانی، با چهار رخساره رسویی- آذرآواری، روانه گدازه های بازالتی- آندزیتی و ایگنیمیریت ریوداستی و نفوذی ها شناخته می شوند که خود با دگر شیبی در زیر سازند های سرخ زیرین، قم، سرخ بالایی و کنگلومرای بختیاری قرار می گیرند [۳۲].

رخساره رسویی- آذرآواری منطقه تفرش به صورت کنگلومرایی با رنگ روشن و قطعات گرد و در اندازه های متفاوت از حدود چند میلی متر تا چند ده سانتی متر رخنمون دارد که قاعده های سری های ائوسن منطقه را می سازد (شکل ۲). در بیشتر قسمت های منطقه، روانه گدازه های بازالتی- آندزیتی بر روی رخساره آذرآواری چین خورده قرار دارد (شکل ۲). وجود افق های خاک قرمز (شکل ۳-الف) و نیز دیبی مشوری (شکل ۳-ب) در روانه گدازه ها بیانگر خروج آرام گدازه در محیطی هوایی است که متعاقب بالا آمدن حوضه رسویی و چین خورده گی لایه های رسویی- آتش فشانی صورت گرفته است. در بخش هایی از منطقه، روانه گدازه ایگنیمیریت ریوداستی به صورت صفحات نازک و پراکنده به چشم می خورند (شکل ۳-پ) که به علت ترکیب و بافت ویژه، آنها را حاصل فوران های پر گاز از بالای مخازن ما گمایی و خروج ما گمایی سیلیسی از طریق شکستگی ها می دانند [۳۲].

درز زاگرس تشکیل شده است [۱۵-۱۶] (شکل ۱) که همواره کانون توجه زمین شناسان بوده و از نظر تحولات ما گمایی و زمین ساختی، بیشتر مورد توجه قرار گرفته است [۱۶، ۱۲، ۲۳-۲۴]. فعالیت ما گمایی این پهنه منطبق بر فعالیت کوه های آپی از کرتاسه تا میوسن و به صورت یک کمر بند با رژیم زمین ساختی ترافشارشی است [۲۱، ۱۲، ۲۳] که سنگ های بخش جنوب شرقی آن ویژگی جزایر کمانی و بخش شمال غربی آن ویژگی حاشیه فعال قاره ای را نشان می دهد [۲۴]. به طور کلی مجموعه ما گمایی ارومیه دختر مشتمل بر سنگ های آتش فشانی آندزیت، داسیت، آندزی بازالت، تراکی آندزیت و ریولیت با سری ما گمایی توله ایتی، کالک آلکالن، آلکالن غنی از پتاسیم و به طور محلی شوشوئی است [۲۰، ۲۴، ۲۵] که با پیرو کلاست های غالباً آگلومرا و روانه گدازه های ایگنیمیریتی همراه شده اند. مجموعه ذکر شده در برخی مناطق از جمله منطقه تفرش با دایک و توده های دیوریتی و گرانودیوریتی قطع می شوند [۹]. گسلش های جبنا در ایران ناشی از تغییر شکل فعل پوسته ایران است که در نتیجه همگرایی میان صفحه های قاره ای عربستان و اوراسیا صورت می گیرد [۱۶] (شکل ۱). بیشینه آهنگ کوتاه شدگی ناشی از این همگرایی در پهنه ایران بر اساس اندازه گیری های GPS حدود ۲۵-۲۲ میلی متر بر سال برآورد شده است که از این مقدار حدود ۳-۲ میلی متر بر سال در منطقه میان کمر بند ارومیه دختر و دامنه جنوبی البرز جای داده می شود [۷، ۲۶]. کمر بند ارومیه دختر با گسله های پی سنگی فعل یا لرزه زایی چون بیدهند، قم زفره، دهشیر بافت به صورت عرضی بریده و یا کنترل شده اند [۲۷] (شکل ۱). برخی محققین [۲۸-۳۰] به رابطه میان ما گماتیسم و این گسله های امتدادلغز در نوار ما گمایی ارومیه دختر توجه داشته و آنها را بررسی کرده اند. به طوری که عده ای معتقدند ما گمای حاصل از فرورانش مایل لیتوسفر اقیانوسی نتوتیس به زیر پهنه ای ایران مرکزی در اوخر مژوزوئیک- ابتدای سنوزوئیک، در راستای گسله های پی سنگی یاد شده، در پوسته رخنه کرده است [۲۸-۲۹]. بررسی های زمین ساختی و ریخت شناسی بیانگر آن است که همگرایی در طول پهنه



شکل (۳): (الف) افق خاک قرمز در زیر روانه گدازه‌های بازالتی- آندزیتی. (ب) دبی منشوری در روانه گدازه بازالتی- آندزیتی. (پ) روانه گدازه‌های ایگنمبربیتی ریوداسیتی. موقعیت این شکل‌ها بر روی شکل (۲) نشان داده شده است.



شکل (۴): تصاویری از رخدارهای نفوذی‌های منطقه‌ی تفرش. (الف) توده‌ی نفوذی میکرودیوریتی زاغر، این توده در رسوبات شیل با میان لایه‌های ماسه‌سنگ و آهک ماسه‌ای به سن ترباس نفوذ کرده است. (ب) دایک‌های موازی آندزیت بازالتی درون مارن و آندزیت‌های آنسن در روستای کهک شرق تفرش. (پ) نمای نزدیک از دایک‌های شرق تفرش. (ت) نمونه‌ای از دایک‌های آندزیت بازالتی شرق تفرش که درون سنگ‌های آهکی کرتاسه تزریق شده است. (ث) نمونه‌ای از دایک غرب تفرش تزریق شده درون روانه گدازه‌های آندزیتی و آگلومرا. (ج) نمای نزدیک تصویر ث. موقعیت هر کدام از شکل‌ها بر روی شکل (۲) نشان داده شده است.

به طوری که فاصله‌ی چندانی از هم نداشته، گاه در یک پیماش

یک کیلومتری با فاصله کمتر از ۲۰۰ متر از هم رخمنون دارند.

بر اساس تجمع نسبی، دایک‌های منطقه مورد مطالعه در دو منطقه‌ی شرق و غرب تفرش تجمع دارند (شکل ۲).

این دایک‌ها با ضخامتی حدود ۵-۲۰ متر و طول حدود ۱۵-۲۰ متر با شیب بیش از ۸۰ درجه از نظر روند، به دو دسته با روند غالب

۳-۱- نفوذی‌ها

مجموعه سنگ‌های منطقه با توده‌های نفوذی شامل دسته

دایک‌های موازی و توده‌های ساب ولکانیک با ترکیب میکرومونزوگابرو، میکرودیوریت، دیوریت و گرانودیوریت

بریده می‌شود (شکل ۴). یکی از ویژگی‌های بارز منطقه موردنده، وجود چند دسته دایک موازی است (شکل ۲)

۱-۱-۴- گسله‌ها

گسله معکوس ایندنس: گسله ایندنس به عنوان مرز شمال و شمال شرقی منطقه با طول ۱۰۰ کیلومتر با راستای شمال غرب-جنوب شرق با شیب به سمت جنوب غرب (شکل ۲) از چند پاره گسله موازی یکدیگر تشکیل شده است. گسله ایندنس یکی از گسله‌های بنیادی و لرزه‌خیز منطقه است و در واحدهای ولکانیکی اثوسن و میوسن قرار گرفته و سبب رانده شدن واحدهای آتش‌فشاری بر روی دشت ساوه شده است. گسله ایندنس در بخش‌هایی از طول خود رسوبات آبرفتی کواترنر و پادگانهای کهن و جوان را بریده است [۳۲، ۲۷].

گسله راندگی عزالدین: گسله معکوس عزالدین (شکل ۲) دارای طول ۱۵ کیلومتر با شیبی حدود ۳۰ درجه به سمت شمال شرق و سازوکار فشاری باعث رانده شدن سنگ‌های آتش‌فشاری اثوسن بر روی سازندهای قرمز زیرین، قم و قرمز بالای شده است [۳۵]. سازوکار گسله عزالدین موجب حذف واحد رسوبی الیگوسن شده به طوری که تنها در جنوب غرب روستای زورجین رخمنون کوچکی از این واحد بر روی سنگ‌های رسوبی الیگوسن رانده شده است. تاکنون گزارش زمین لرزه مشخصی در ارتباط با این گسله ثبت نشده است.

گسله تفرش: گسله رانده تفرش با راستای شمال غرب-جنوب شرق و طول ۵۵ کیلومتر از غرب-جنوب غرب شهرستان تفرش می‌گذرد (شکل‌های ۲، ۵-۶). شیب این گسله نزدیک به ۴۰-۵۰ درجه به سمت جنوب غرب است. این گسله به طور عمده باعث جای گرفتن سنگ‌های آتش‌فشاری اثوسن بر روی واحدهای جوان تر از اثوسن شده است [۳۵، ۸]. در جنوب شرق روستای زاغر خط گسله به صورت مشخص در میان سنگ‌های آهکی- ماسه‌ای کرتاسه و سازنده نایند دیده می‌شود (شکل ۵). ادامه جنوب شرقی گسله تفرش در سازنده اثوسن کرج ناپدید شده و یا به شاخه‌های فرعی تقسیم می‌شود. ادامه شمال غربی آن نیز در سنگ‌های سازنده میوسن قرمز بالای ناپدید می‌شود. هیچ گونه داده سنی دقیق و لرزه‌خیزی از این راندگی در دست نیست.

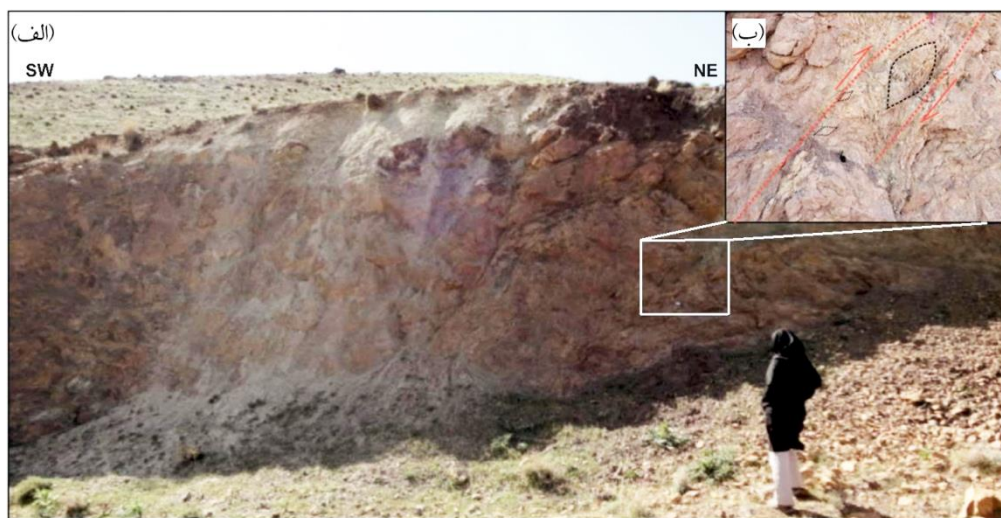
N 20-30 E 40-45 W تقسیم می‌شوند [۳۳]. بافت دایک‌های مذکور پورفیریتیک، با خمیره میکروکریستالین، میکروولیتی و ایترسال حاکی از شرایط نیمه‌عمیق تا تقریباً سطحی است [۳۴]. دایک‌های دسته اول با روند W 40-45 N از نوع نیمه‌عمیق با ترکیب دلریت و گابرودیوریت پورفیری در اطراف روستاهای گیان و لالاین بروندارند و واحدهای اثوسن و قدیمی تر را بریده‌اند. در حالی که دسته دوم با روند E 20-30 N از نوع دایک‌های کم عمق با ترکیب هورنبلند آندزیت، آندزیت بازالتی و بازالت آندزیتی، سنگ‌های آتش‌فشاری-رسوبی میوسن، سازنده قم و سازنده قرمز پایینی رانیز بریده‌اند [۳۳] (شکل ۲). دگراندی دایک‌های دسته دوم چشمگیر بوده و به شدت اپیدوتی و کلریتی شده‌اند. شواهد روند دایک‌های منطقه، واحدهای دربرگیرنده و خاستگاه، نشان‌دهنده‌ی نفوذ آنها در چند مرحله است. دایک‌های نفوذی از جمله عناصر ساختاری هستند که در داخل شکستگی‌های کششی جای می‌گیرند و روند آنها از جهت تنش‌های اصلی در زمان شکل‌گیری پیروی می‌کند و الگوی تکوین ساختاری و سیستم تنش و واتنش حاکم بر منطقه را ارائه می‌دهند. دایک‌های نفوذی گستره مورد مطالعه نیز نشان‌دهنده‌ی شکستگی‌های کششی بوده و در تحلیل ساختاری منطقه کمک کننده خواهد بود.

۴- عناصر ساختاری منطقه مورد مطالعه

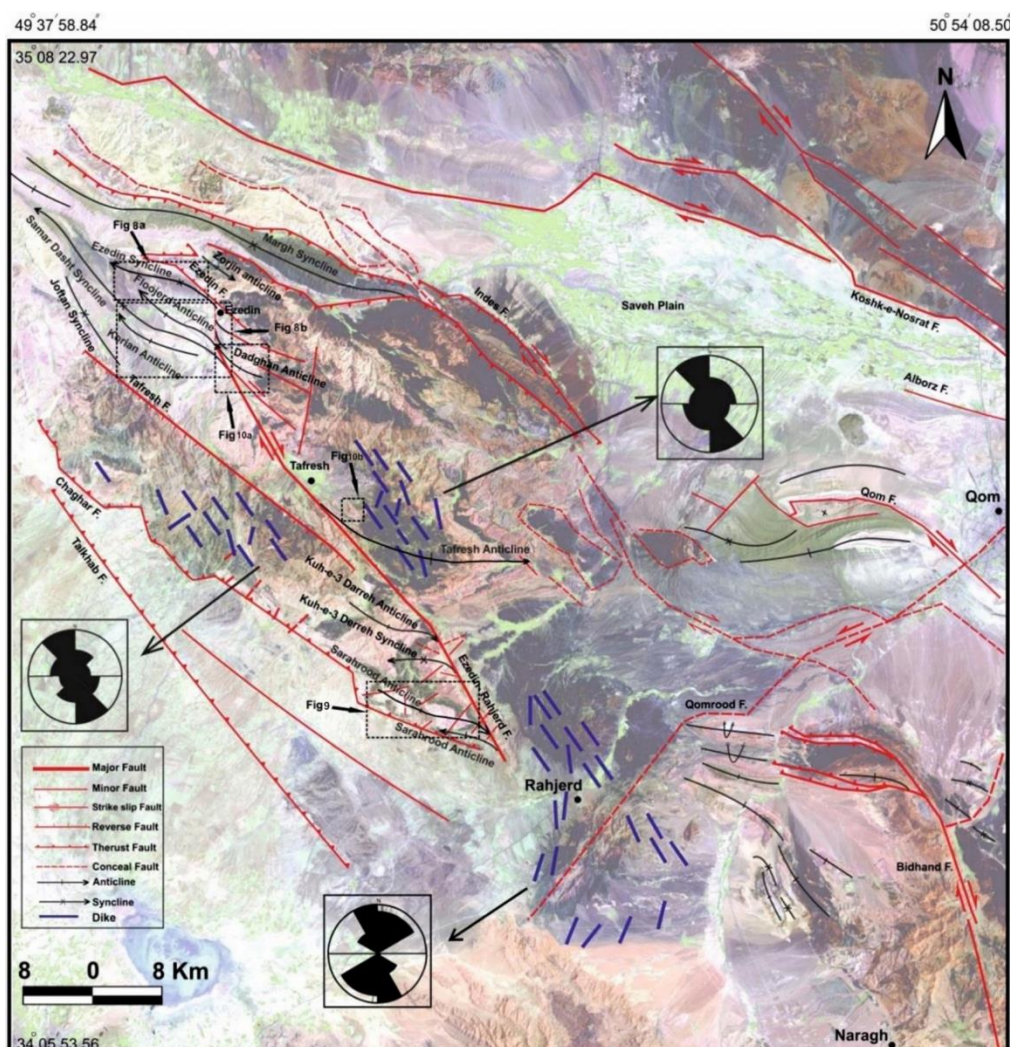
ساختارهای منطقه مورد مطالعه را می‌توان بر اساس مقیاس رخمنون به دو گروه تقسیم کرد: گروهی شامل ساختارهای اصلی و بزرگ مقیاس هستند که بر روی تصاویر ماهواره‌ای و عکس‌های هوایی قابل شناسایی هستند و گروه دیگر شامل ساختارهای فرعی و کوچک‌مقیاس هستند که در مقیاس رخمنون و مشاهدات صحرایی قابل شناسایی هستند.

۴-۱- ساختارهای اصلی

ساختارهای اصلی در منطقه شامل گسلهای معکوس و راندگی و چین‌هایی با راستای عمومی کمرنند ارومیه دختر (شمال غرب-جنوب شرق) هستند که در ادامه به معرفی آنها می‌پردازیم.



شکل (۵): پهنه گسلی تفرش با جهت دید به سمت شمال غرب، حرکت معکوس گسله با ساختارهای لنزی شکل بر روی شکل مشخص شده است. موقعیت شکل بر روی شکل (۲) نشان داده شده است.



شکل (۶): نقشه ساختاری منطقه مورد مطالعه بر روی تصویر ماهواره‌ای که بر روی آن ساختارهای اصلی منطقه شامل گسل‌ها و چین‌ها و نیز روند دایک‌ها نشان داده شده است. روز دیاگرام‌ها روند دایک‌های موجود در منطقه را نشان می‌دهد.

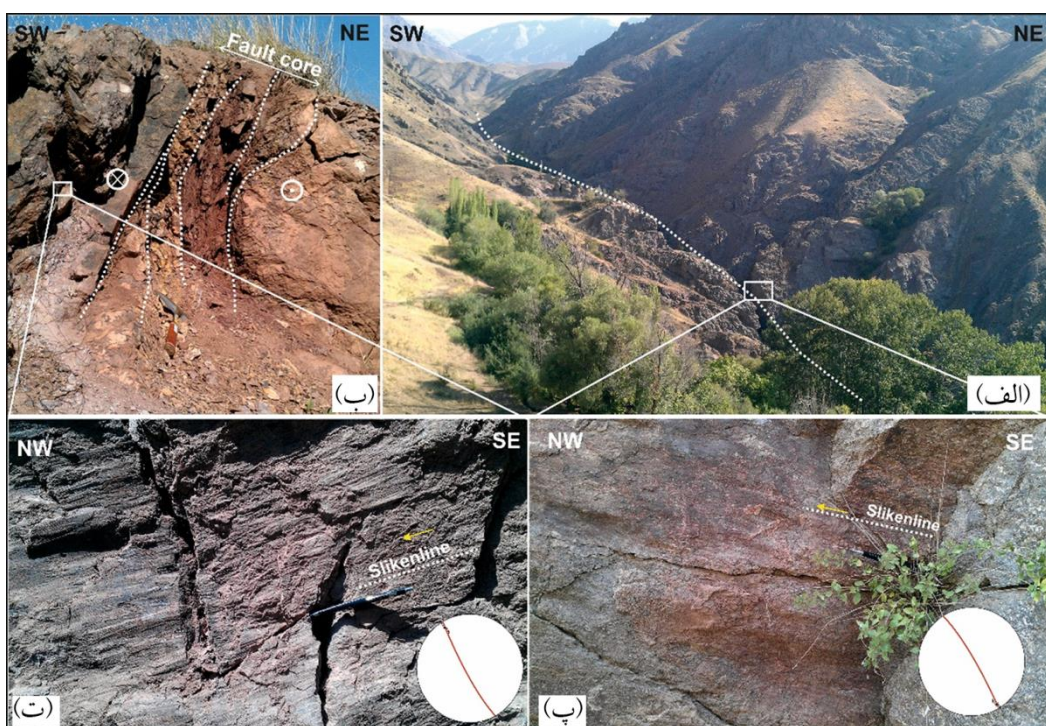
به بریدگی نهشته‌های کواترنر با گسله تلخاب آن را یک گسله کواترنری می‌توان دانست. هیچ گونه داده سنتی دقیق و لرزه‌خیزی از این گسله در دست نیست.

گسله عزالدین-راهجرد: گسله عزالدین-راهجرد برای بار نخست در این مقاله معرفی می‌شود. این گسله از روستای عزالدین آغاز و از روستاهای دادغان، مشهد، بازرگان، آمره و موچان و شهر تفرش می‌گذرد و تا نزدیکی روستای راهجرد ادامه می‌یابد و اثر آن به صورت خطی بر روی تصاویر مأهواره‌ای مشخص است (شکل ۶). این گسله باعث جابه‌جایی واحدهای کرتاسه تا واحدهای جوانتر از ائوسن شده است. گسله‌ای تفرش و چاقر با برخورد به این گسله محدود شده و به سمت جنوب شرق ادامه ندارند (شکل ۲). قدیمی‌ترین سنگ‌هایی که با این گسله بریده شده‌اند واحدهای تریاس و جوان‌ترین نهشته‌ها مربوط به کواترنری است. برداشت خش لغزش سطح گسله و پهنه دگریختن آن، معرف حرکت راست بر گسله عزالدین-راهجرد است (شکل ۷).

در ادامه به بررسی بیشتر پهنه ساختاری این گسله می‌پردازیم.

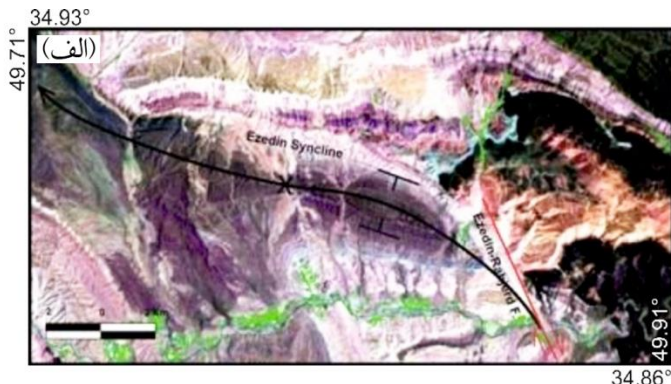
راندگی چاقر: گسله راندگی چاقر با طول ۱۵ کیلومتر و راستای شمال غرب-جنوب شرق (شکل ۶) و شیب حدود ۲۰-۲۵ درجه به سوی شمال شرقی است [۹-۸]. این گسله باعث راندگی بخش‌هایی از سنگ‌های آهک، آهک ماسه‌ای، توف و مارن به سن ائوسن بر روی نهشته‌های مارن و سنگ‌آهک ائوسن و سنگ‌اهک و مارن الیگومیوسن شده است. این گسله مابین گسله تفرش در شمال شرق و گسله تلخاب در جنوب غرب قرار دارد و ناودیس تلخاب در فرادیواره آن شکل گرفته است.

راندگی تلخاب: گسله راندگی تلخاب با طول ۱۱۴ کیلومتر به عنوان مرز جنوب غربی منطقه با روند شمال غرب-جنوب شرق (شکل ۶)، شیبی حدود ۲۰-۳۵ درجه به سوی شمال شرق باعث راندگی سنگ‌های آتش‌فشاری ائوسن کرج و سازند قم بر روی سنگ‌های الیگو-میوسن کرج و سازندهای شمشک و لار و پادگانه‌های قدیمی کواترنر شده است [۱۰، ۵]. به سوی شمال غرب گسله وارد سازند کرج شده و به سمت جنوب شرق مرز میان سازند قم و پادگانه‌های قدیمی کواترنر را می‌سازد. با توجه

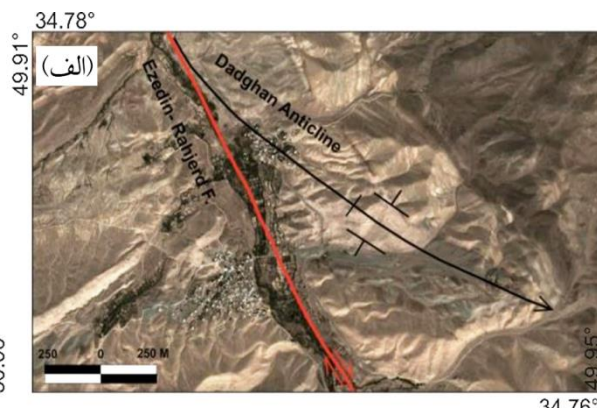
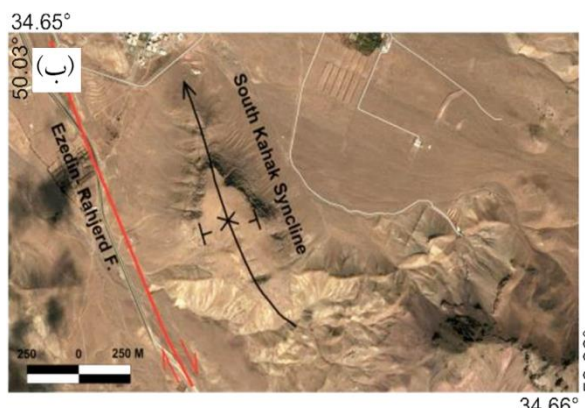


شکل (۷): (الف) دره گسلی عزالدین-راهجرد در مسیر رودخانه تفرش، دید به سمت شمال غرب، (ب) پهنه دگریختنی گسله امتداد لغز عزالدین-راهجرد در نزدیکی روستای دادغان، دید به سمت شمال غرب، (پ و ت) صفحات گسلی و خش لغز معرف حرکت راست بر گسله، دید به سمت شمال شرق. استریوونت موقعیت صفحه گسلی و سازوکار آن را نشان می‌دهند. موقعیت این شکل‌ها بر روی شکل (۲) نشان داده شده است.

در شرق گسله عزالدین- راهجرد، در مواجهه با گسله دچار خمش راستبر شده و با روند گسله هم سو می شود. این چین ها بر روی تصویر ماهواره‌ای شکل (۹) نشان داده است. چین های واقع در قسمت غربی پایانه جنوبی گسله عزالدین- راهجرد؛ تاقدیس های سرهروود و کوه سهدره و ناویدیس های سرهروود و کوه سهدره در غرب پایانه جنوبی گسله عزالدین- راهجرد (شکل ۶) واقع است. روند این چین خوردگی ها تقریباً شمال غرب- جنوب شرق است و در رو به روی بروخورد با گسله عزالدین- راهجرد تغییر روند داده و روندشان با روند گسله هم سو می شود. به عنوان مثال شکل (۱۰) تاقدیس سرهروود در شرق روستای سرهروود را نشان می دهد که هسته آن از مارن های اوسن تشکیل شده است و از نوع چین دو سویه نامتقارن است و محور آن تحت تأثیر فعالیت گسله عزالدین- راهجرد تغییر روند داده است.



شکل (۸): (الف) ناویدیس عزالدین در پایانه شمالی و غرب گسله عزالدین- راهجرد و (ب) ناویدیس سمردشت، تاقدیس های فلوجرد و کوریان در پایانه شمالی و غرب گسله عزالدین- راهجرد و تاقدیس دادغان در شرق گسله عزالدین- راهجرد. روند محور این چین ها در مواجهه با گسله عزالدین- راهجرد تغییر روند داده و با گسله موازی می شوند. موقعیت این چین ها بر روی شکل (۶) مشخص شده است.



شکل (۹): (الف) تغییر روند محور چین های دادغان و جنوب کهک، (ب) در مجاورت گسله عرضی- برشی عزالدین- راهجرد.

۲-۱-۴- چین خوردگی ها

چین های واقع در قسمت غربی پایانه شمالی گسله عزالدین- راهجرد؛ تاقدیس های زورجین، فلوجرد و کوریان و ناویدیس های عزالدین، سمردشت و جفتان در غرب پایانه شمالی گسله عزالدین- راهجرد واقع است (شکل ۶). روند این چین ها تقریباً شمال غرب- جنوب شرق است که در مواجهه با گسله عزالدین- راهجرد روند محور آنها دچار خمش راستبر شده است. شکل (۸) به عنوان نمونه تغییر روند محور چین های عزالدین، فلوجرد، سمردشت و کوریان را در بروخورد با گسله عرضی- برشی عزالدین- راهجرد نشان می دهد.

چین های واقع در شرق گسله عزالدین- راهجرد؛ تاقدیس های تفرش و دادغان و ناویدیس جنوب کهک در شرق گسله عزالدین- راهجرد واقع شده است (شکل ۶). روند محور این چین خوردگی ها

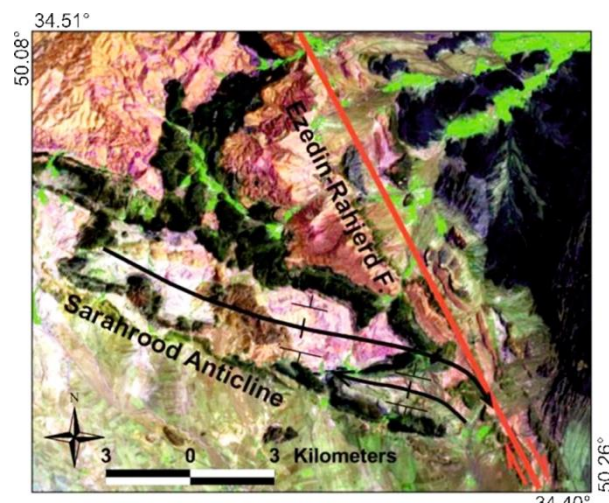
معکوس و امتداد لغز در پهنه گسله عزالدین- راهجرد برداشت شد که در ادامه به معرفی آنها می پردازیم.

۱-۲-۴- چین‌های فرعی

در بررسی‌های صحرایی، چین‌های فرعی، در مجاورت گسله عرضی- برشی عزالدین- راهجرد و در پایانه‌های شمالی و جنوبی و بخش‌های میانی گسله مشاهده و برداشت گردیدند. شکل (۱۱) نمونه‌ای از این چین‌خوردگی‌ها به همراه موقعیت محوری آنها بر روی استریوونت را نشان می‌دهد. می‌توان گفت روند محوری این چین‌های فرعی تقریباً شرقی- غربی است.

۲-۲-۴- گسل‌های معکوس

چند نمونه از گسل‌های فرعی با سازوکار فشاری و برداشت شده در مجاورت گسله عرضی- برشی عزالدین- راهجرد، در شکل (۱۲) نشان داده شده است. امتداد سطح این گسل‌ها همانند روند محور چین‌های فرعی، شرقی- غربی است و بیشتر در غرب پایانه شمالی و بخش‌های میانی گسله عرضی- برشی رخمنون دارند.



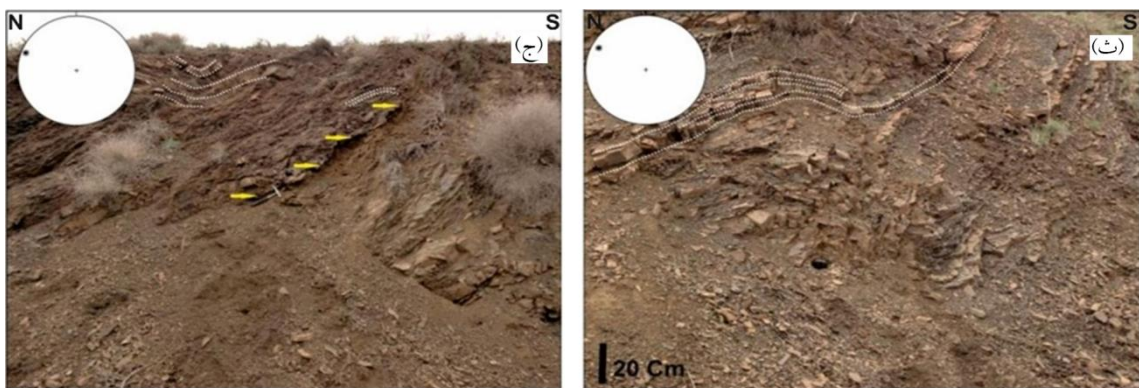
شکل (۱۰): تاقدیس سرهود واقع در غرب پایانه جنوبی گسله عزالدین- راهجرد. خمس محور چین در مواجه با گسله و همسو شدن آن با روند گسله مشهود است.

۲-۴- ساختارهای فرعی

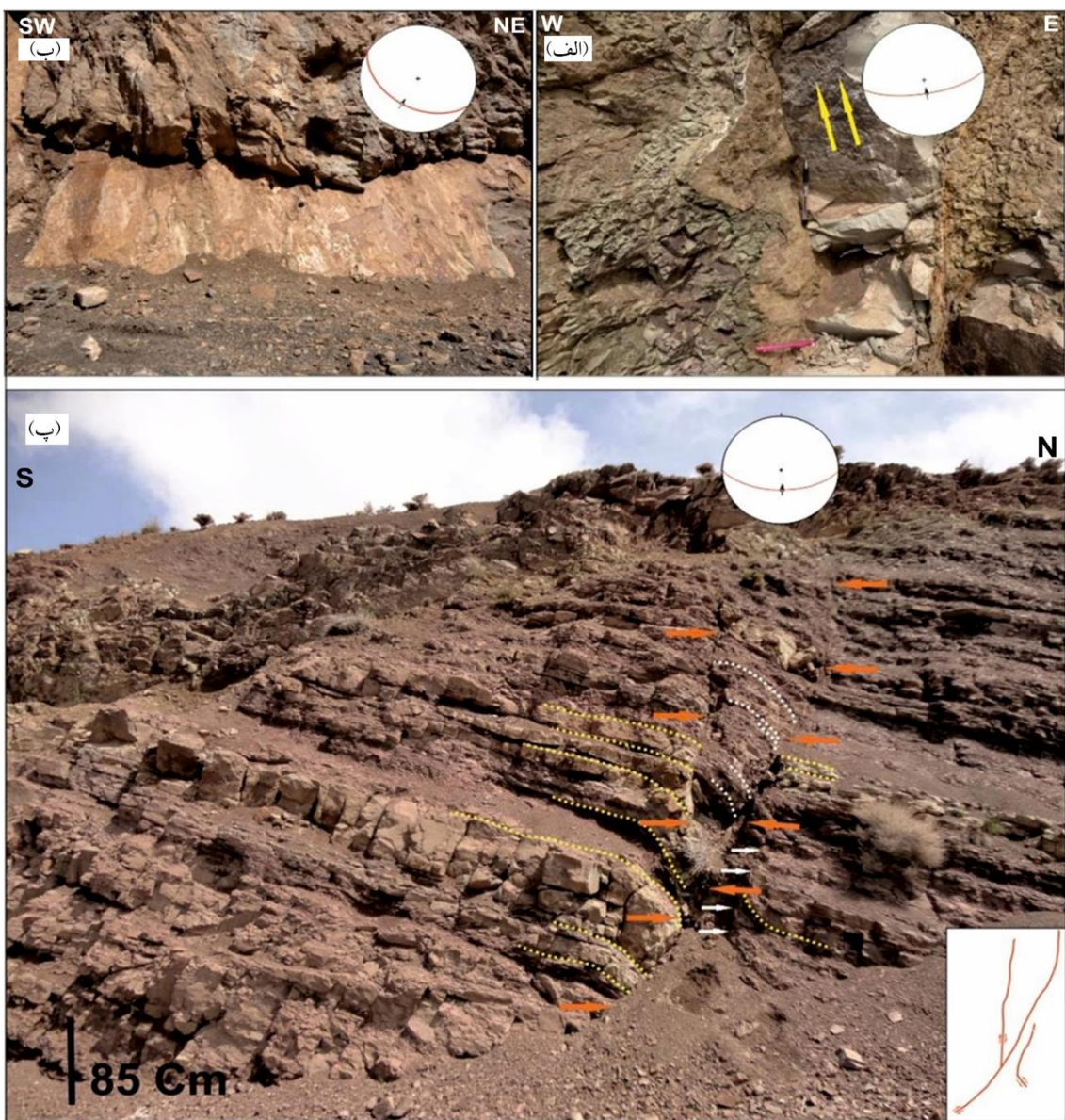
ساختارهای فرعی تنها در مشاهدات صحرایی قابل شناسایی هستند. در پیمایش‌های صحرایی از طول و عرض منطقه مورد مطالعه ساختارهای شامل چین‌خوردگی‌ها و گسل‌های



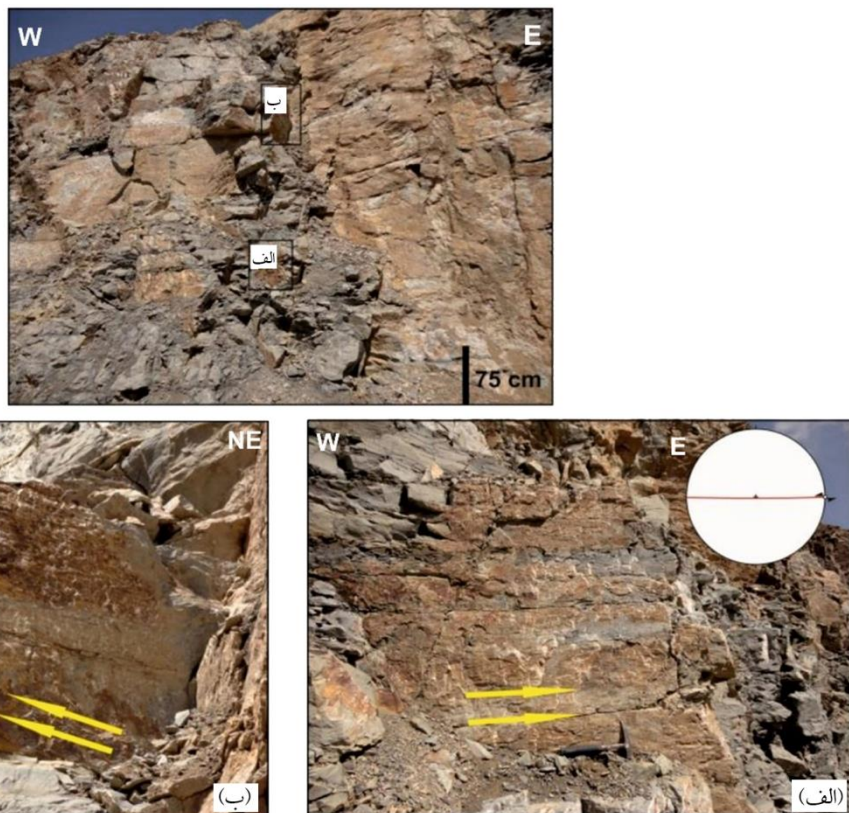
شکل (۱۱): نمونه‌ای از چین‌های فرعی مورد مطالعه در پایانه شمالی گسله عزالدین- راهجرد (الف و ب)، در بخش میانی گسله (پ) و در مجاورت پایانه جنوبی گسله (ت، ث، ج). استریوونت‌ها موقعیت محور چین‌های فرعی را نشان می‌دهد. جهت دید عکس‌ها به سمت غرب و به موازات محور چین‌ها است. موقعیت این چین‌ها بر روی شکل (۲) نشان داده شده است.



شکل (۱۱): آدامه



شکل (۱۲): نمونه‌ای از گسل‌های معکوس فرعی مورد مطالعه که در پایانه شمالی گسله عزالدین- راهجرد - (الف) با جهت دید به سمت شمال و در بخش میانی گسله (ب) با جهت دید به سمت شمال غرب و (پ) با جهت دید به سمت غرب- رخنمون دارند. استریوونت‌ها موقعیت صفحات گسلی و سازوکار آنها را نشان می‌دهد. موقعیت این شکل‌ها بر روی شکل (۲) نشان داده شده است.



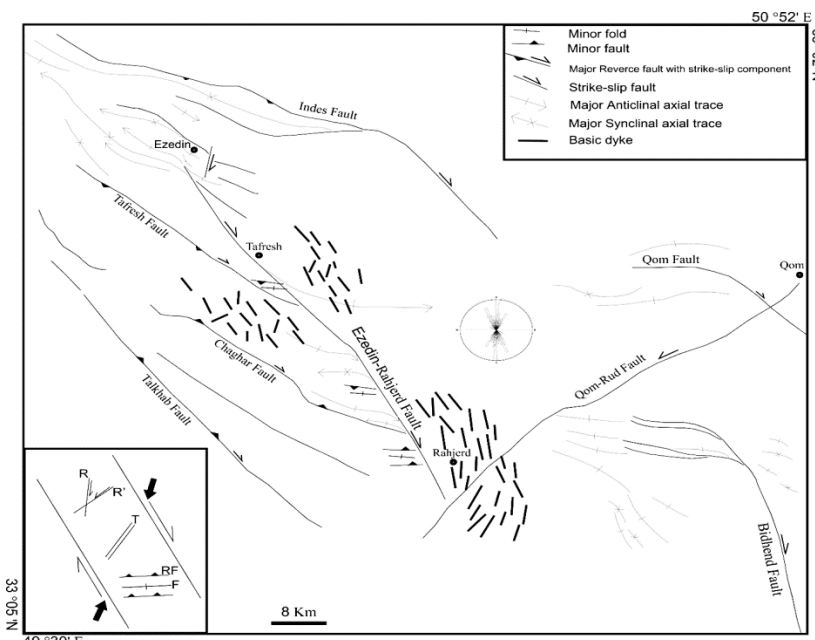
شکل (۱۳): نمونه‌ای از گسل‌های امتدادلغز فرعی منطقه مورد مطالعه. (الف) امتدادلغز چپ بر با جهت دید به سمت شمال و (ب) امتدادلغز راست بر با جهت دید به سمت شمال غرب که در بخش میانی گسله عزالدین-راهجرد رخنمون دارند. استریونت‌ها موقعیت صفحات گسلی و سازوکار آنها را نشان می‌دهد. موقعیت این شکل‌ها بر روی شکل (۲) نشان داده شده است.

ارومیه-دختر را قطع می‌کند (شکل‌های ۲ و ۶). اثر دگریختی این پهنه عرضی بر روی ساختارهای اصلی منطقه اعم از چین‌ها و گسل‌ها؛ با روند غالب شمال غرب-جنوب شرق که حاصل جنبش زمین‌ساختی آلبی هستند؛ به صورت خمش محور چین‌ها و تغییر روند یا قطع شدگی گسل‌های معکوس است (شکل ۱۴). علاوه بر ساختارهای اصلی که متأثر از فعالیت گسله عرضی-برشی عزالدین-راهجرد هستند، ساختارهای فرعی منطقه، محدود به پهنه گسلی است و در اثر فعالیت این پهنه ایجاد شده‌اند (شکل ۱۴). خمش راست بر محور چین‌های اصلی، روند تقریبی شرقی-غربی چین‌ها و گسل‌های معکوس فرعی وجود گسل‌های فرعی امتدادلغز به صورت همسو و ناهمسو با پهنه برشی، شواهدی بر فعالیت امتدادلغزی راست بر گسله عرضی-برشی عزالدین-راهجرد است. در چین‌پهنه عرضی-برشی راست بر، توسعه شکستگی‌های کششی با روند N-۰۲۰ دور از انتظار نیست [۳۶] (شکل ۱۴).

۴-۳-۳-گسل‌های امتدادلغز
گسل‌های امتدادلغز از جمله ساختارهای فرعی منطقه مورد مطالعه هستند که همانند سایر ساختارهای فرعی بیشتر در مجاورت گسله عرضی-برشی رخنمون دارند. این گسل‌ها به دو صورت راست بر با روند N-۰۰۵ تا روند موازی گسله عزالدین-راهجرد و چپ بر با روند N-۰۵۰ تا N-۰۸۰ برداشت شد. نمونه‌ای از این گسل‌ها که در بخش میانی گسله عزالدین-راهجرد برداشت شده‌اند در شکل (۱۳) آمده است.

۵- بحث

۵-۱- شواهد ساختاری و جنبشی گسله عرضی-برشی عزالدین-راهجرد
مطالعه تصویر ماهواره‌ای نشان می‌دهد پهنه گسلی عزالدین-راهجرد با روند کلی N-۱۵° به صورت عرضی، کمان ماقمایی



شکل (۱۴): نقشه ساختاری منطقه مورد مطالعه. آرایش ساختارهای اصلی و فرعی نسبت به گسله عرضی- برشی عزالدین- راهجرد، حرکت امتداد لغز راست بر این گسله را نشان می‌دهد. رز دیاگرام روند دایک‌های نفوذی منطقه بر روی نقشه آمده است. R: گسله همسو یا ریدل؛ R': گسله ناهمسو یا آنتی ریدل؛ T: شکستگی کششی؛ RF: گسله معکوس و F: چین در یک پهنه برشی راست بر.

جنوب جریان دارد و از روستاهای بارزجان، دادغان و عزالدین می‌گذرد و بعد از گذر از شهر تفرش در جلایر با رودخانه قره‌چای یکی می‌شود.

۲-۲-۵- شواهد لرزه خیزی

از دیدگاه لرزه خیزی، منطقه مورد مطالعه در ایالت لرزه خیز ایران مرکزی واقع است. زمین لرزه‌های دستگاهی منطقه (شکل ۱۶) مرکز سطحی زمین لرزه‌های با بزرگای $Mw < 6$ را نشان می‌دهد. با مقایسه روند گسله‌های مهم منطقه مورد مطالعه و مرکز سطحی زمین لرزه‌ها، فراوانی ابرگونه‌ای بین گسله عزالدین- راهجرد و گسله ایندس و نیز فراوانی ابرگونه دیگر ما بین گسله چاقر و تلخاب مشاهده می‌شود. علاوه بر آن، مرکز سطحی زمین لرزه‌های با بزرگای $Mw < 4$ پیرامون گسله عزالدین- راهجرد مشاهده ابرگونه‌ای دارند. هرچند با توجه به خطای مکان یابی بالای این گونه رخدادهای کوچک، نمی‌توان به درستی چشمۀ مسبب آنها را تعیین کرد؛ اما چنین ابری نباید بی معنا باشد و ممکن است نشان از فعالیت امروزی این گسله و گسله‌های اطراف آن داشته باشد.

لذا می‌توان بیان داشت دایک‌های دسته دوم با روند E 30-30 N 20-30 که از نوع دایک‌های کم عمق هستند، علاوه بر سنگ‌های قدیمی، سنگ‌های آتش‌فشاری- رسوبی میوسن، سازند قم و سازند قرمز پائینی را نیز برپا نهادند و در داخل این شکستگی‌های کششی حاصل از فعالیت گسله عرضی- برشی جای گرفته‌اند. در حالی که به نظر می‌رسد دایک‌های دسته اول با روند W 40-45 N که از نوع نیمه عمیق بوده و واحدهای قدیمی‌تر از ائوسن را برپا نهادند، نسبت به دایک‌های دسته دوم قدیمی‌تر و در اثر ساختارهای اصلی کمرنند مانگما بی ارومیه- دختر ایجاد شده باشند.

۲-۵- شاخص‌های پتانسیل فعالیت جوان گسله عرضی- برشی عزالدین- راهجرد

۲-۱-۱- شواهد زمین‌ریخت‌شناسی

مهم‌ترین عارضه زمین‌ریخت‌شناسی که در راستای گسله عزالدین- راهجرد مشاهده می‌شود اطباق مسیر رودخانه آب کمر (تفرش) به عنوان رودخانه اصلی منطقه بر روند این گسله است (شکل ۱۵). رودخانه آب کمر که از بلندی‌های گیان سرچشمه می‌گیرد در امتداد گسله عزالدین- راهجرد از شمال به سمت

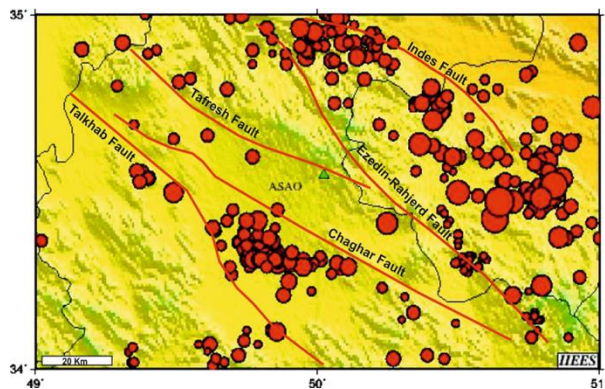
برداشت‌های میدانی نشان داد که تأثیر فعالیت این گسله در کمربند ارومیه دختر به صورت تغییر روند ساختارهای اصلی همانند خمش محور چین‌ها و تشکیل ساختارهای فرعی با روندی متفاوت از روند ساختارهای اصلی بوده است. برداشت ویژگی‌های هندسی و جنبشی ساختارها گویای حرکت راست‌بر گسله عرضی-برشی عزالدین-راهجرد است. این گسله بر روی تصویر ماهواره‌ای نیز به صورت خطی منطبق بر روند رودخانه آب کمر (نفرش) مشخص است. انطباق مرکز سطحی زمین‌لرزه‌ها بر روی این گسله، اهمیت شناسایی و معرفی این پهنه گسلی را در مطالعات لرزه‌خیزی منطقه نشان می‌دهد. گسله عزالدین-راهجرد یکی از گسله‌های راست‌بر عرضی-برشی با پتانسیل فعالیت در کمربند ارومیه دختر است که هم راست‌با گسله‌های فعال بیدهند، قم زفره و دهشیر [۳۰، ۳۷] (شکل ۱) با آرایش پله‌ای نسبت به هم سبب بریده شدن کمربند ارومیه دختر شده است. گسله عزالدین-راهجرد می‌تواند به عنوان یک گسله مهم در تحلیل خطر لرزه‌ای منطقه نفرش و مناطق هم‌جوار نقش داشته باشد. از این‌رو، بررسی‌های کامل‌تر برای تعیین آهنگ فعالیت و توان لرزه‌زایی گسله، ضروری است.

مراجع

1. Zanchi, A., Zanchetta, S., Balini, M., and Ghassemi, M.R. (2016) Oblique convergence during the Cimmerian collision: Evidence from the Triassic Aghdarband Basin, NE Iran. *Gondwana Research*, **38**, 149-170.
2. Pirozi, H., Davoodi, Z., and Asiabanza, A. (2015) Tectonic setting of the analcime basalts of Taleghan area. *33th Geosciences Congress, Geological Society of Iran*, Tehran (in Persian).
3. Davoodi, Z. (2016) Influence of the basement strike-slip fault on the 2005 and 2014 Earthquakes, Qeshm Island, Iran. *Journal of Seismology and Earthquake Engineering*, **18**(4), 219-230.
4. Cornell, C.A. (1968) Engineering seismic risk analysis. *Bull. Seis. Soc. Am.*, **58**(5), 1583-1606.
5. Talebian, M., Biggs, J., Bolourchi, M., Copley, A.,



شکل (۱۵): تصویر ماهواره‌ای لندست ۷(ETM+) از انطباق مسیر رودخانه آب کمر (نفرش) با راستای گسله عزالدین-راهجرد.



شکل (۱۶): مرکز سطحی زمین‌لرزه‌های دستگاهی در بازه زمانی ۱۹۴۵ تا ۲۰۱۸ در منطقه مورد مطالعه (برگرفته از IIEES). روند گسله‌های مهم منطقه از جمله گسله عزالدین-راهجرد با خط قرمز بر روی نقشه نشان داده شده است.

۶- نتیجه‌گیری

سنگ‌های آتش‌فشاری سنوزوئیک منطقه نفرش به سن ائوسن که به طور دگرشیب با سازندهای سرخ زیرین و بالایی و سازند قم پوشیده شده‌اند، با گسله عرضی-برشی عزالدین-راهجرد با راستای N-۱۵° و طول ۷۰ کیلومتر بریده شده است. بررسی الگو و هندسه ساختارها به کمک تصویر ماهواره‌ای و

- Abdolghafourian, M., Hajian, M., Waples, D., Warren, J., Otterdoom, H., Srisuriyon, K., and Kazemi, H. (2009) Structural development of a major late Cenozoic basin and transpressional belt in central Iran: the central basin in the Qom-Saveh area. *Geosphere*, **5**, 1-38.
16. Stöcklin, J. (1974). Possible ancient continental margins in Iran. In: *The Geology of Continent Margins* (Eds. Burke, C.A. and Darke, C.L.), 873-887.
17. Farhoudi, G.H. (1978) A comparison of Zagros geology to island-arcs. *Journal of Geology*, **86**, 323-334.
18. Berberian, M. (1981) The south Caspian: a compressional depression floored by a trapped, modified oceanic crust. *Canadian Journal of Earth Science*, **20**, 163-183.
19. Berberian, M. and King, G. (1981) Towards a palaeogeography and tectonic evolution of Iran. *Canadian Journal of Earth Sciences*, **18**, 210-265.
20. Berberian, F., Muir, F.I.D., Pankhurst, R.J., and Berberian, M. (1982) Late cretaceous and early Miocene Andean type plutonic activity in northern Makran and central Iran. *Journal of Geological Society*, **139**, 605-614.
21. Alavi, M. (1994) Tectonic of the Zagros orogenic belt of Iran: new data and interpretations. *Tectonophysics*, **229**, 211-238.
22. Shahabpour, J. (2005) Tectonic evolution of the orogenic belt located between Kerman and Neyriz. *Journal of Asian Earth Sciences*, **24**, 405-417.
23. Ghasemi, A. and Talbot, C.J. (2006) A new scenario for the Sanandaj-Sirjan zone (Iran). *Journal of Asian Earth Sciences*, **26**, 683-693.
24. Alavi, M. (2007) Structures of the Zagros fold thrust belt in Iran. *American Journal of Science*, **307**, 1064-1095.
25. Hassanzadeh, J. (1993) *Metallogenic and Tectono-Magmatic Events in the SE Sector of the Cenozoic Active Continental Margin of Iran*. Ph.D. Thesis, University of California, Los Angeles.
26. Nilforoushan, F., Vernant, P., Masson, F., Vigny, C., Martinod, J., Abbassi, M., Nankali, H., Gassemi, A., Ghorashi, M., Hollingsworth, J., Jackson, J., Nissen, E., Oveisi, B., Parsons, B., Priestley, K., and Saiidi, A. (2006) The Dahuiyeh (Zarand) earthquake of 2005 February 22 in central Iran: reactivation of an intra-mountain reverse fault. *Geophysical Journal International*, **164**, 137-148.
6. Sella, F., Dixon, H., and Mao, A. (2002) REVEL: A model for Recent plate velocities from space geodesy. *Journal of Geophysical Research*, **107(B4)**.
7. Vernant, P., Nilforoushan, F., Hatzfeld, D., Abbassi, M., Vigny, C., Masson, F., Nankali, H., Martinod, J., Ghafory-Ashtiani, M., Bayer, R., Tavakoli, F., and Chéry, J. (2004) Present-day crustal deformation and plate kinematics in the Middle East constrained by GPS measurements in Iran and northern Oman. *Geophys. J. Int.*, **157**, 381-398.
8. Kohansal, R. and Radfar, J. (2003) *Geological Map of Farmahin in 1:100000*, Geological Survey of Iran.
9. Alai Mahabadi, S. (2000) *Geological Map of Salafsheghan in 1:100000*, Geological Survey of Iran.
10. Radfar, J. and Kohansal, R. (2004) *Geological Map of Arak in 1:100000*, Geological Survey of Iran.
11. Hadjani, J. (1970) *Geological Map of Tafresh in 1:100000*, Geological Survey of Iran.
12. Agard, P., Omrani, J., Jolivet, L., and Mouthereau, F. (2005) Convergence history across Zagros (Iran): constraints from collisional and earlier deformation. *International Journal of Earth Sciences*, **94**, 401-419.
13. Allen, M. and Armstrong, H.A. (2008) Arabia-Eurasia collision and the forcing of Mid-Cenozoic global cooling. *Palaeogeography Palaeoclimatology Palaeoecology*, **265**(1), 52-58.
14. Horton, B.K., Hassanzadeh, J., Stockli, D.F., Axen, G.J., Gillis, R.J., Guest, B., Amini, A., Fakhari, M.D., Zamanzadeh, S.M., and Grove, M. (2008) Detrital zircon provenance of Neoproterozoic to Cenozoic deposits in Iran: Implications for chronostratigraphy and collisional tectonics. *Tectonophysics*, **451**(1-4), 97-122.
15. Morley, C.K., Kongwung, P., Julapour, A.,

37. Nadri, R., Mohajjal, M., and Bahroudi, A. (2010) Bidband strike-slip fault system (South of Qom). *Geosciences*, **18**(74), 177-184 (in Persian).

واژه‌نامه

Transverse Fault	۱- گسله عرضی- برشی
Major Structure	۲- ساختار اصلی
Minor Structure	۳- ساختار فرعی
En-echelon Arrangement	۴- آرایش ناهم‌ردیف یا نزدبانی
Geomorphology	۵- زمین‌ریخت‌شناسی
Seismic Source	۶- چشمیه لرزه‌ای

- Hatzfeld, D., Bayer, R., Tavakoli, F., Ashtiani, A., Doerflinger, E., Daignières, M., Collard, P., and Chéry, J. (2003) GPS network monitors the Arabia-Eurasia collision deformation in Iran. *Journal of Geodesy*, **77**, 411-422.
27. Berberian, M. (1976) *Documented Earthquake Faults in Iran*. Rep. 39, Geological Survey of Iran, Tehran (in Persian).
28. Nogol-e Sadat, M.A.A. (1978) *Shear Zones and Structural Bending in Iran, Achievements of Structural Analysis of Qom Area*. Rep.55, Geological Society of Iran, Tehran (in Persian).
29. Mohajjal, M. (2000) Role of the en-echelon extensional spaces in intrusive of igneous rocks in Kashan-Ardestan area, a pattern for formation of the Urmia-Dokhtar magmatic arc. *19th Geosciences Congress*, Geological Society of Iran, Tehran (in Persian).
30. Mohajjal, M. and Porouhan, N. (2005) Geometry and kinematics of Qom-Zefreh fault system and its significance in transpresssion tectonics. *Geosciences*, **14**(59), 167-173 (in Persian).
31. Meyer, B., Mouthereau, F., Lacombe, O., and Agard P. (2006) Evidence of Quaternary activity along the Deshir Fault: implication for the Tertiary tectonics of Central Iran. *Geophys. J. Int.*, **164**, 192-201.
32. Emami, M. and Hadjian, J. (1370) *Geological Map of Qom in 1:250000*, Geological Survey of Iran.
33. Khademi, F. (2014) *The Study of Facies and Geochemistry of Magmatic Rocks in the Shahrab-Feshk districts, NE Farmahin*. Ms. Thesis, Imam Khomeini International University, Qazvin (in Persian).
34. Kazemi, H. (2005) *Petrology of Dykes in East of Tafresh*. Ms. Thesis, Shahid Beheshti University, Tehran (in Persian).
35. Rajabion, J. (2005) *Brittle Deformation Analysis in Tafresh Area*. M.Sc. Thesis, Tarbiat Modares University, Tehran (in Persian).
36. Ramsay, J.G. and Huber M.I. (1987) *The Techniques of Modern Structural Geology*. **2**, Folds and Fractures, Academic Press, London.

Introduction and Structural Study of the Ezedin-Rahjerd Transverse Fault Zone, One of the Seismic Potential Structures in Tafresh Area

Zeinab Davoodi

Department of Geology, Faculty of Science, Imam Khomeini International University, Qazvin, Iran,
z.davoodi@sci.ikiu.ac.ir

Accurate identification of seismic potential is the first step and one of the most important for seismic studies in each region. The study area, located in the middle part of the Urmia-Dokhtar magmatic arc belt, is one of the areas where identify and study of its seismic sources is necessary. In this study, for the first time, the Ezedin-Rahjerd fault system is introduced according to the interpretation of satellite images, field study and tectonic surveys of the area. The Cenozoic (Eocene) volcanic rocks of the Tafresh area, which are covered with Lower and Upper Red Formations have been cut by this N-150 transverse fault of 70 km. This fault system, like other transverse faults such as the Bidhend, Qom-Zefreh and Dehshir-baft faults, has cut volcanic rocks of the magmatic arc belt. Geometry pattern detection of the structures using satellite images and field observations in the area showed that the effect of this fault are observed as the change of the main structure trends such as the reverse faults and fold axes bending and the formation of minor structures with a different trend from the main structures trends of the Urmia-Dokhtar belt. The slicken lines of the fault plane and the right-lateral bending of the main fold axes along the fault zone and the formation of minor structures indicates the right lateral movement of the Ezedin-Rahjerd fault zone.

One of the prominent features of the study area is the existence of several parallel dyke sets that are not very distant and sometimes outcropping at a distance of less than 200 m. These dykes with a thickness of about 2-5 m and a length of about 15-20 m with dip of more than 80 degrees are divided into two sets with dominant trends N40-45W and N20-30E. The first set of dykes with N40-45W trending are a semi-deep dolerite and porphyro gabbro diorite that exposed around the Gyan and Lalaein villages and cutting Eocene and older units. Whereas, the second N20-30E trending shallow dikes with combining of hornblende, andesite and basaltic andesite also cuts Miocene volcanic-sedimentary rocks, Qom Formation and Lower Red Formation. Alteration of the second dyke set is significant. The trend, including rocks and tectonic setting of the dykes, show their influence in several stages. These intrusive dikes also show tension fractures, so will assist in structural analysis of the area. In such a right lateral transverse fault zone, development of the tension fractures with N20-30E trend is not unexpected. Therefore, the second shallow N20-30E dyke set are formed in these tension fractures due to the Ezedin-Rahjerd transverse fault activity. While the first set with N40-45W trending that is older than the second one, has been created due to the main structures of the Urmia-Dokhtar magmatic belt.

The most important geomorphological feature observed along the Ezedin-Rahjerd fault is the conformity of the Kamar (Tafresh) river as the main river of the area with the fault trend. The Kamar River flows north-south along the Ezedin-Rahjerd fault, passing through the Barezjan, Dadghan, and Ezedin villages, and then reaches the Ghareh-Chai River in Jalaier. Instrumental earthquakes of the area show $2 < Mw < 6$ magnitudes. Comparing of the major fault trends with the earthquake epicenters of the study area, shows the super abundance between the Ezedin-Rahjerd and Indes faults, as well as other super abundance between the Chaghar and Talkhab faults. In addition, epicenter of $4 < Mw < 2$ earthquakes have a super abundance around the Ezedin-Rahjerd fault. Such an abundance reflects the current activity of this fault and around faults. Geomorphological study and the conformity of the earthquake epicenters on the Ezedin-Rahjerd fault zone indicates the importance of identifying and introducing this fault zone during seismic studies of the area. Therefore, the probability of earthquake due to activity of Ezedin-Rahjerd transverse fault zone as a Quaternary fault, is not unexpected and may play a decisive role in seismic hazard of Tafresh city and neighbor areas. Therefore, more thorough investigations are needed to determine the activity rate and seismic potential of the fault.

Keywords: Transverse Fault Zone, Ezedin-Rahjerd Fault, Seismic Potential, Central Iran, Tafresh.